

<u>Strain</u>	<u>Plasmid</u>	<u>Copy- number</u>	<u>Construction</u>			<u>SNase, u/m</u>
<u>SMBI no.</u>	<u>pSMBI no.</u>		<u>Promoter</u>	<u>SP</u>	<u>Coding Sequence</u>	<u>Flask</u> <u>Fermer</u>
111	109	Medium	P170	310mut2	Nuc	0.88 3.1
105	93	Medium	P170	Usp45	Nuc	1.04 3.4
104	91	High	P170	310mut2	Nuc	2.25 8.7
106	98	High	P170	Usp45	Nuc	2.77 10.2

Fig. 1

Fig. 1

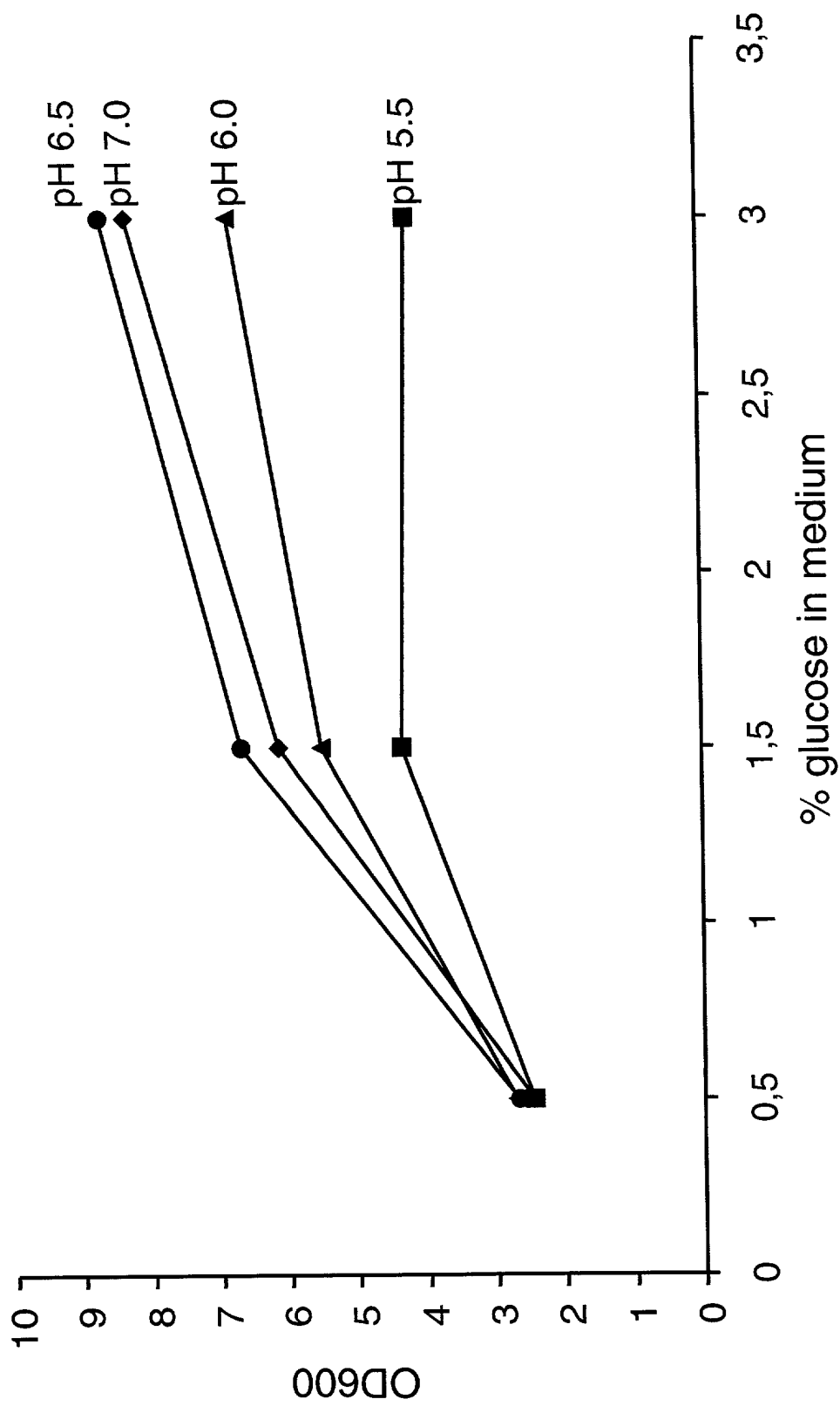


Fig. 2

3/22

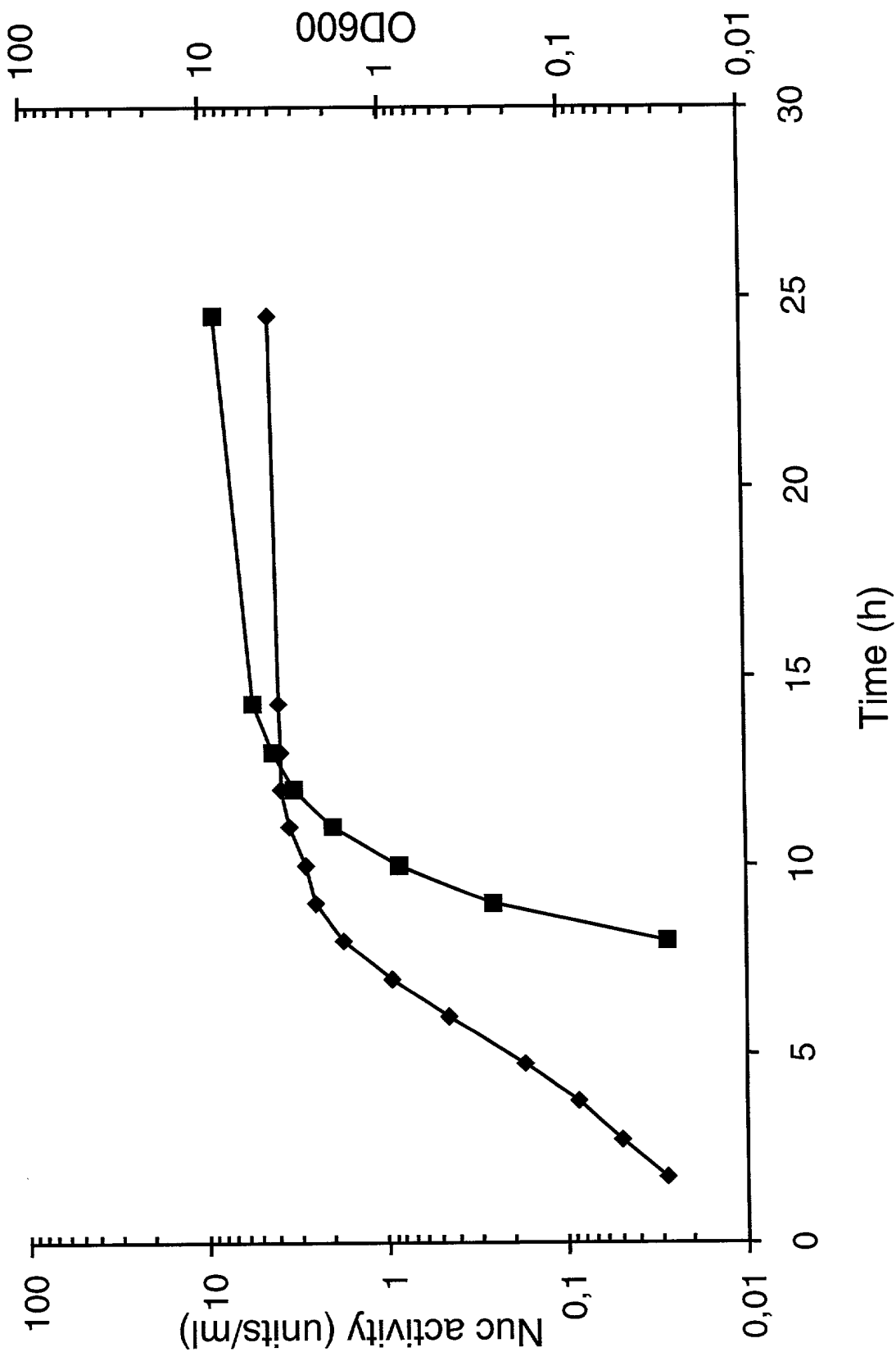


Fig. 3A

4/22

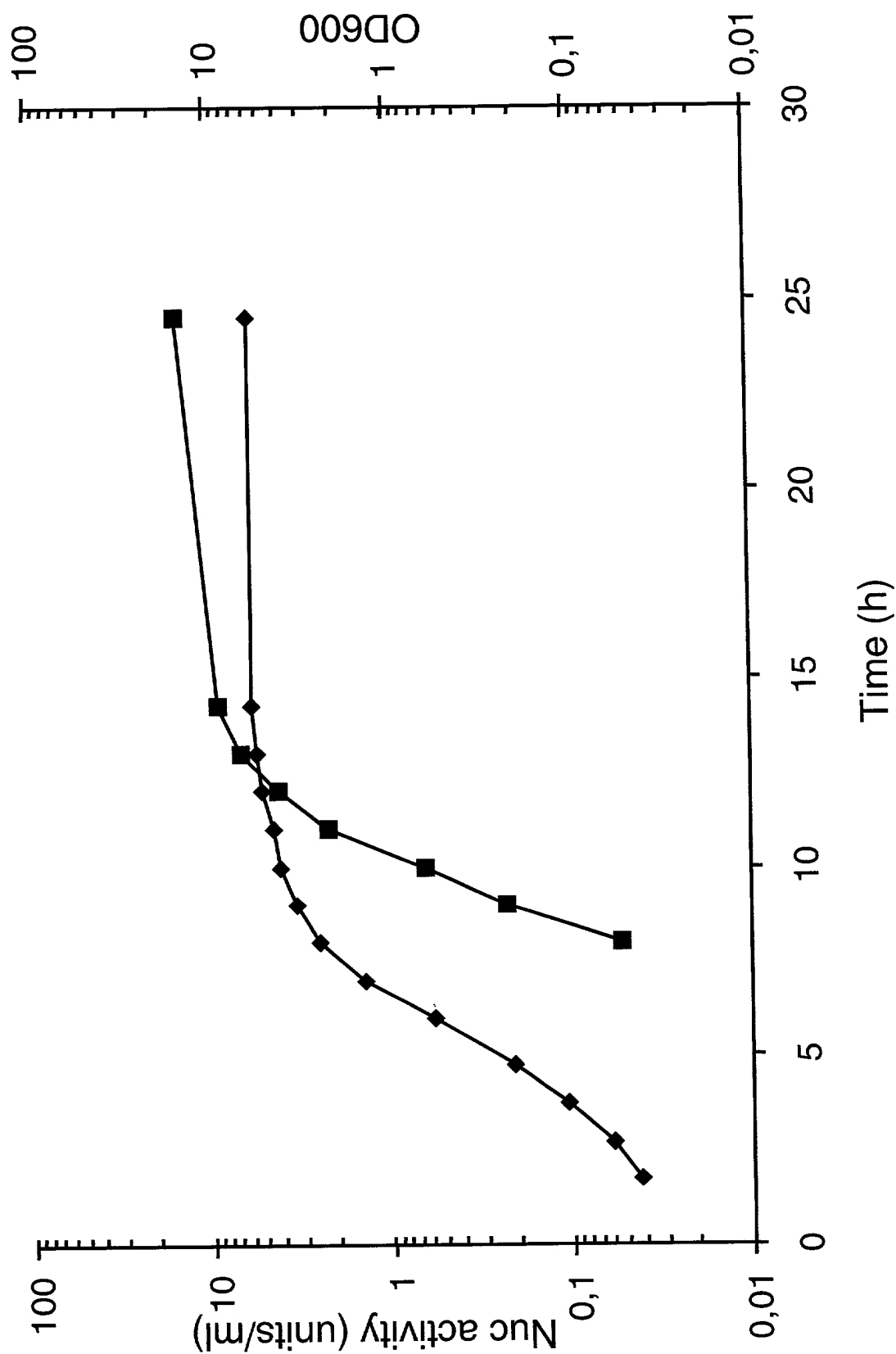


Fig. 3B

5/22

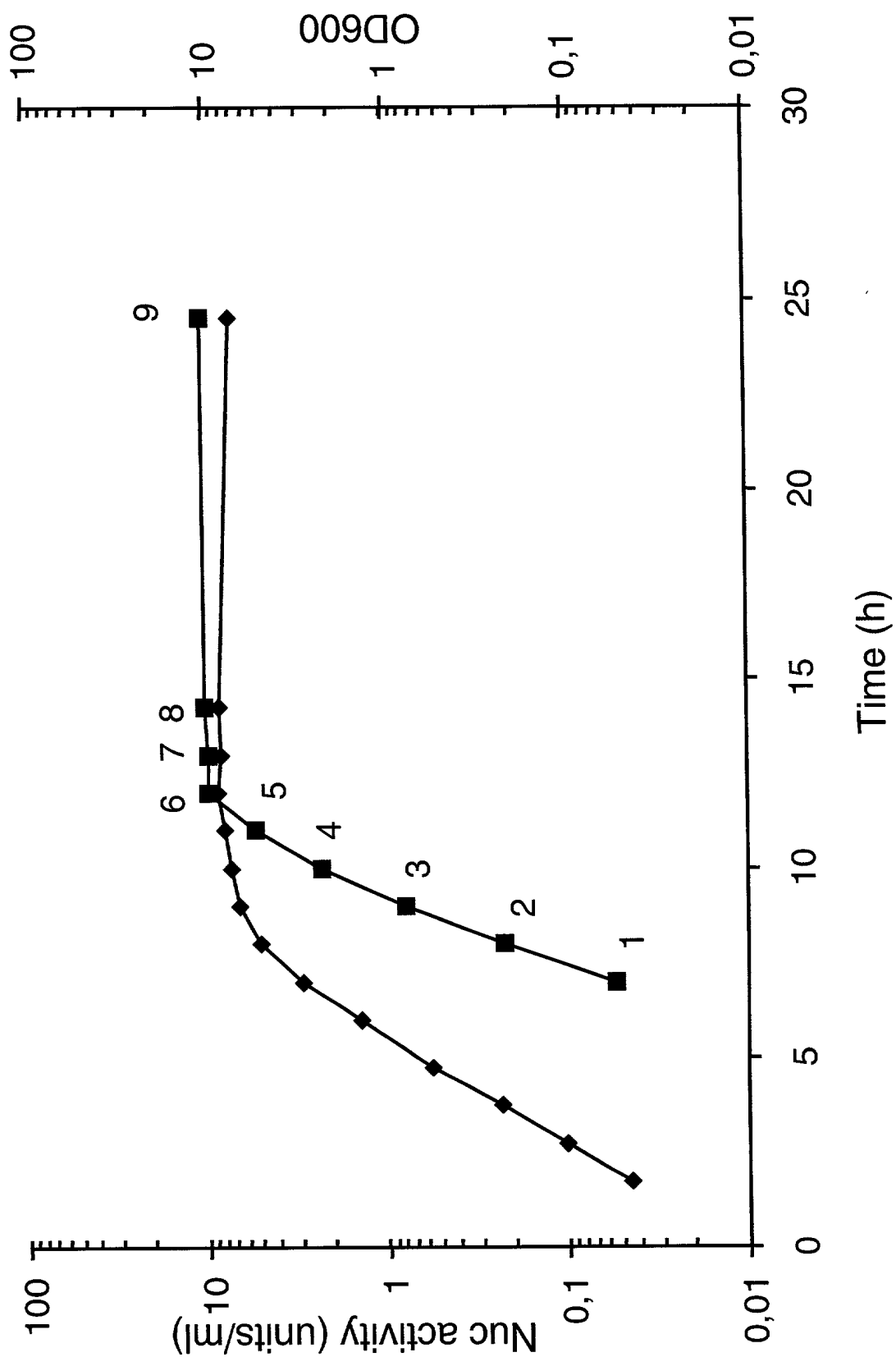


Fig. 3C

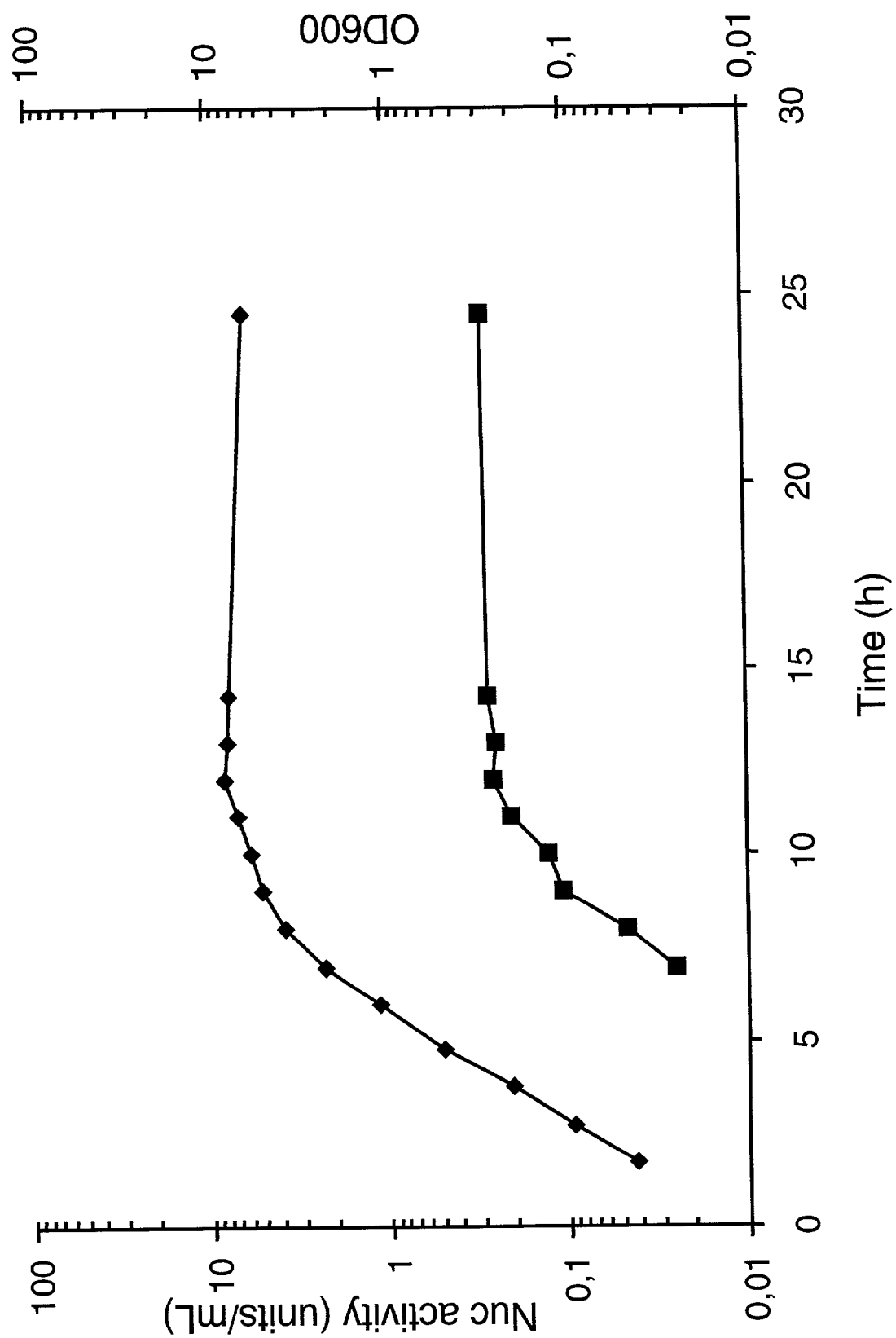


Fig. 3D

Fig. 3D

7/22

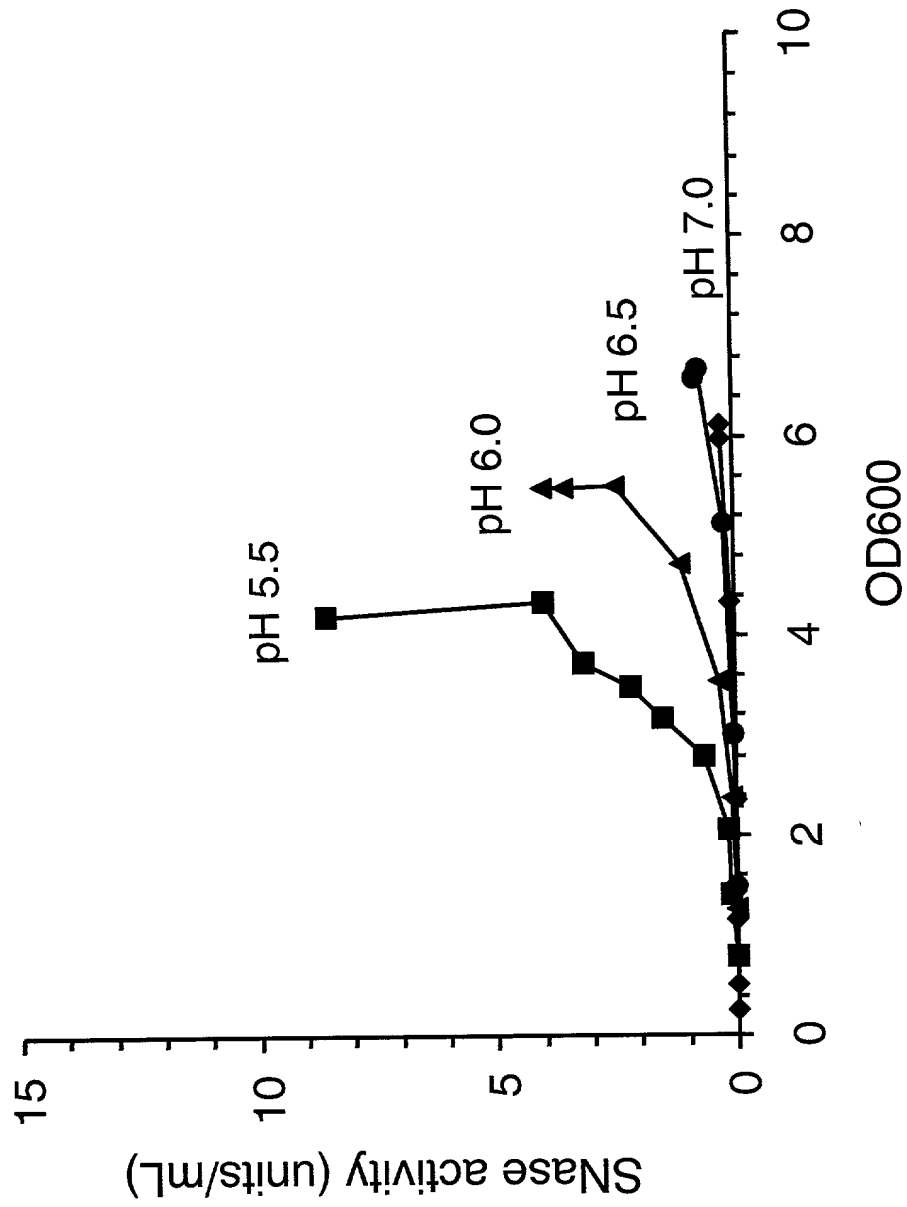


Fig. 4A

Fig. 4A

8/22

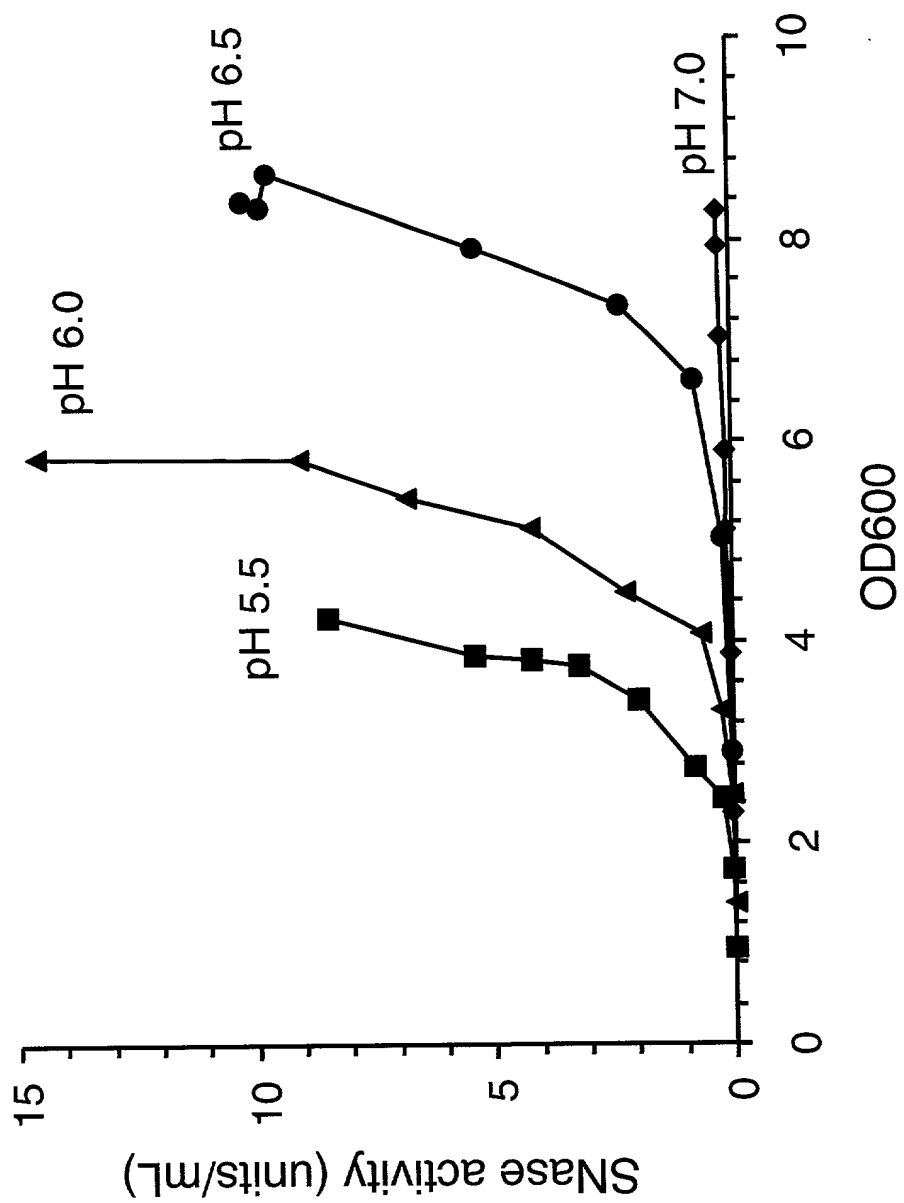


Fig. 4B

Fig. 4B



9/22

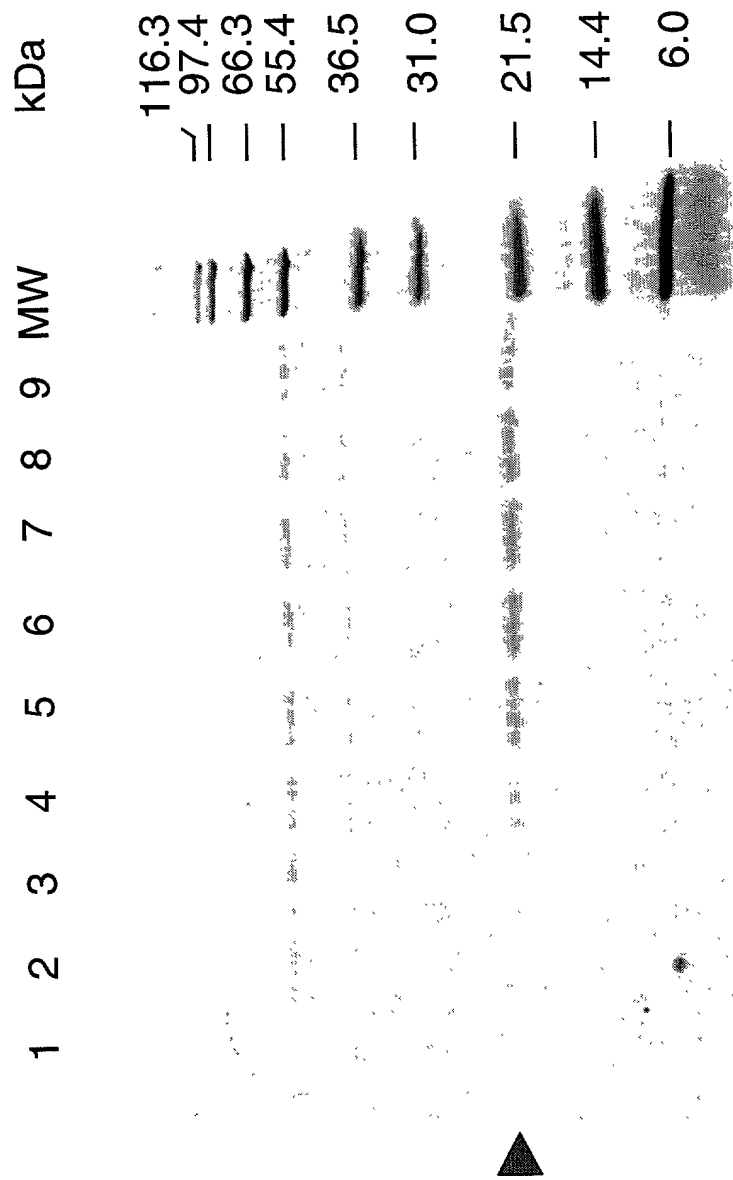


Fig. 5

Fig. 5

10/22

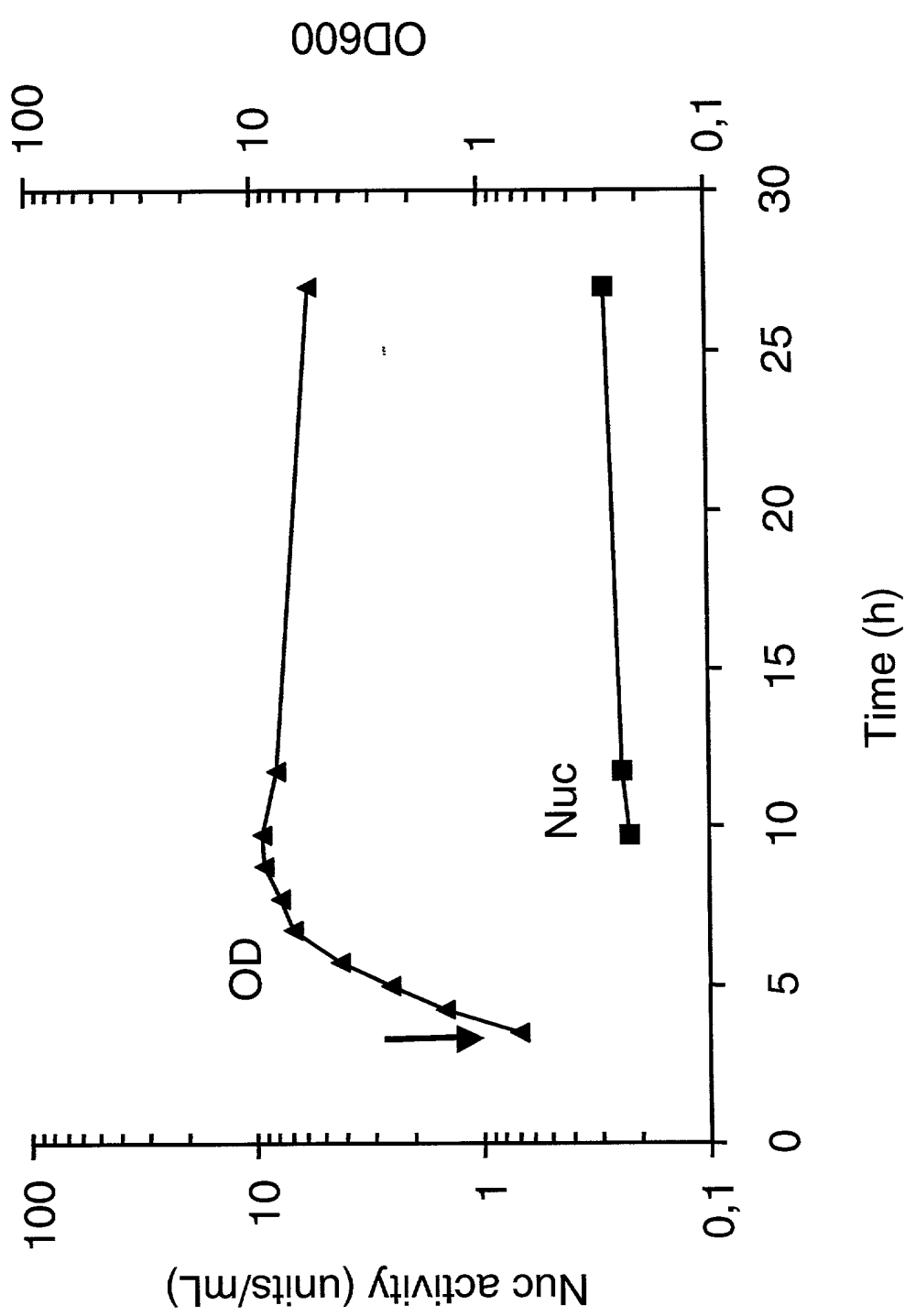


Fig. 6A

11/22

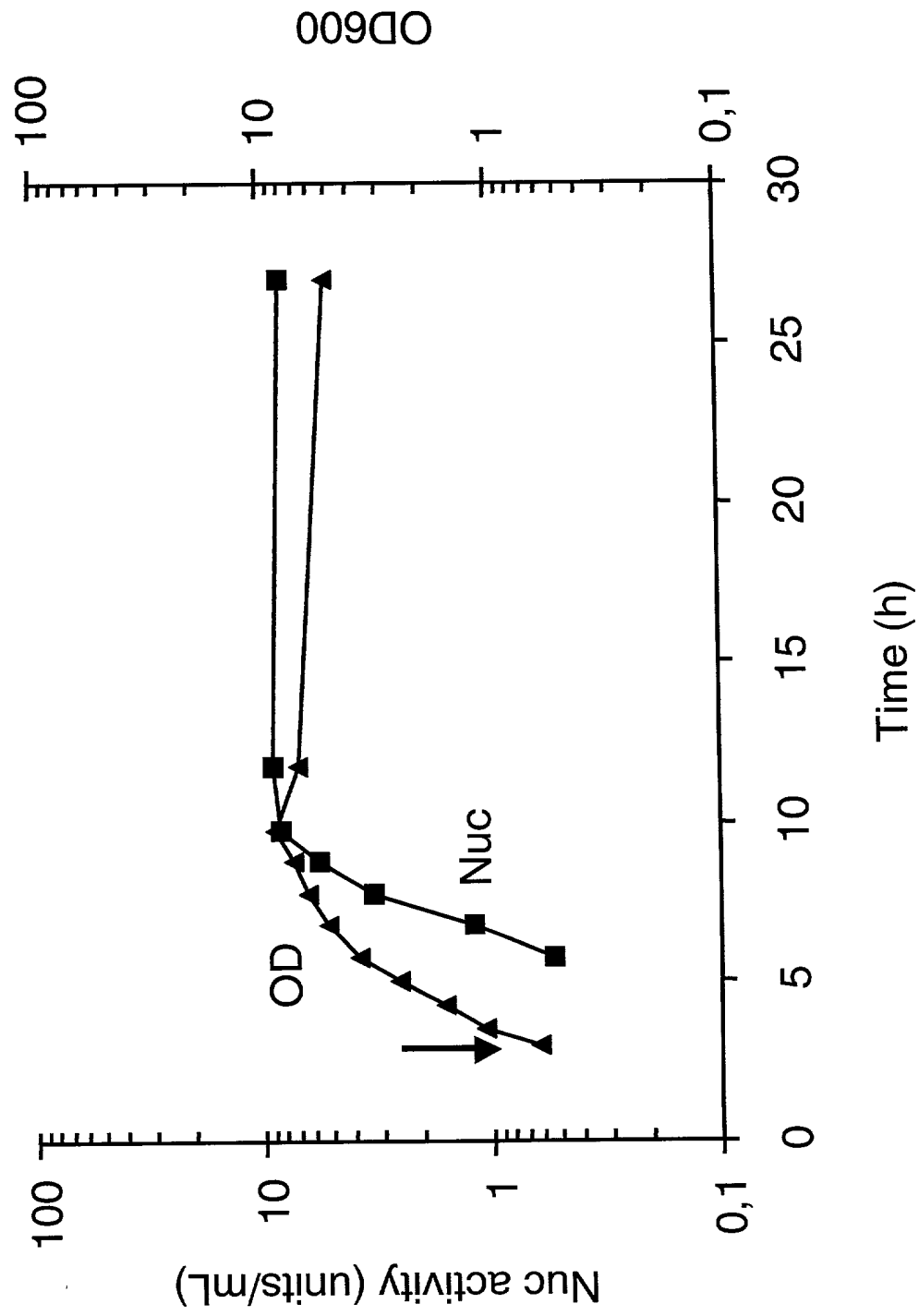


Fig. 6B

Fig. 6B

12/22

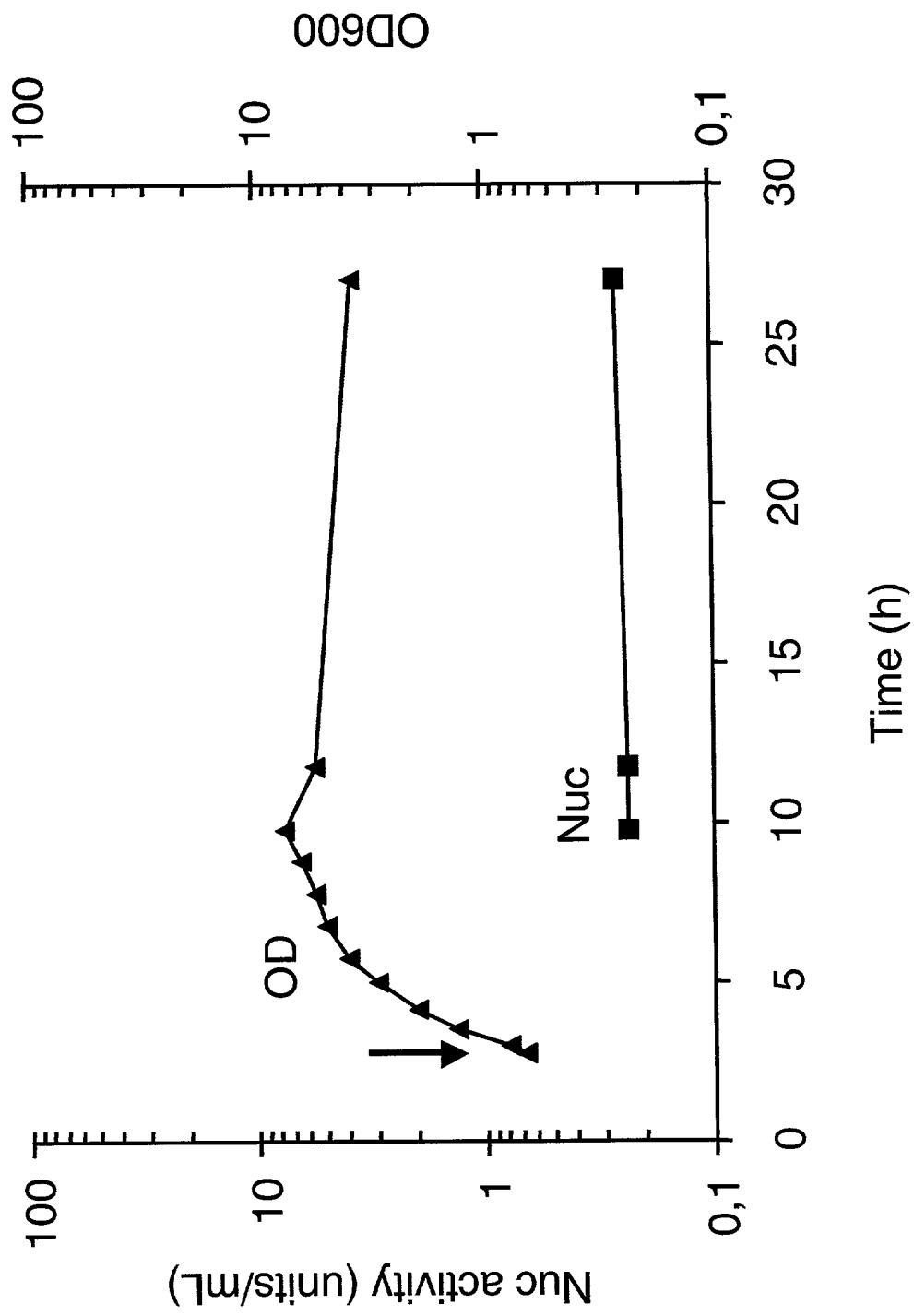


Fig. 6C

Fig. 6C

13/22

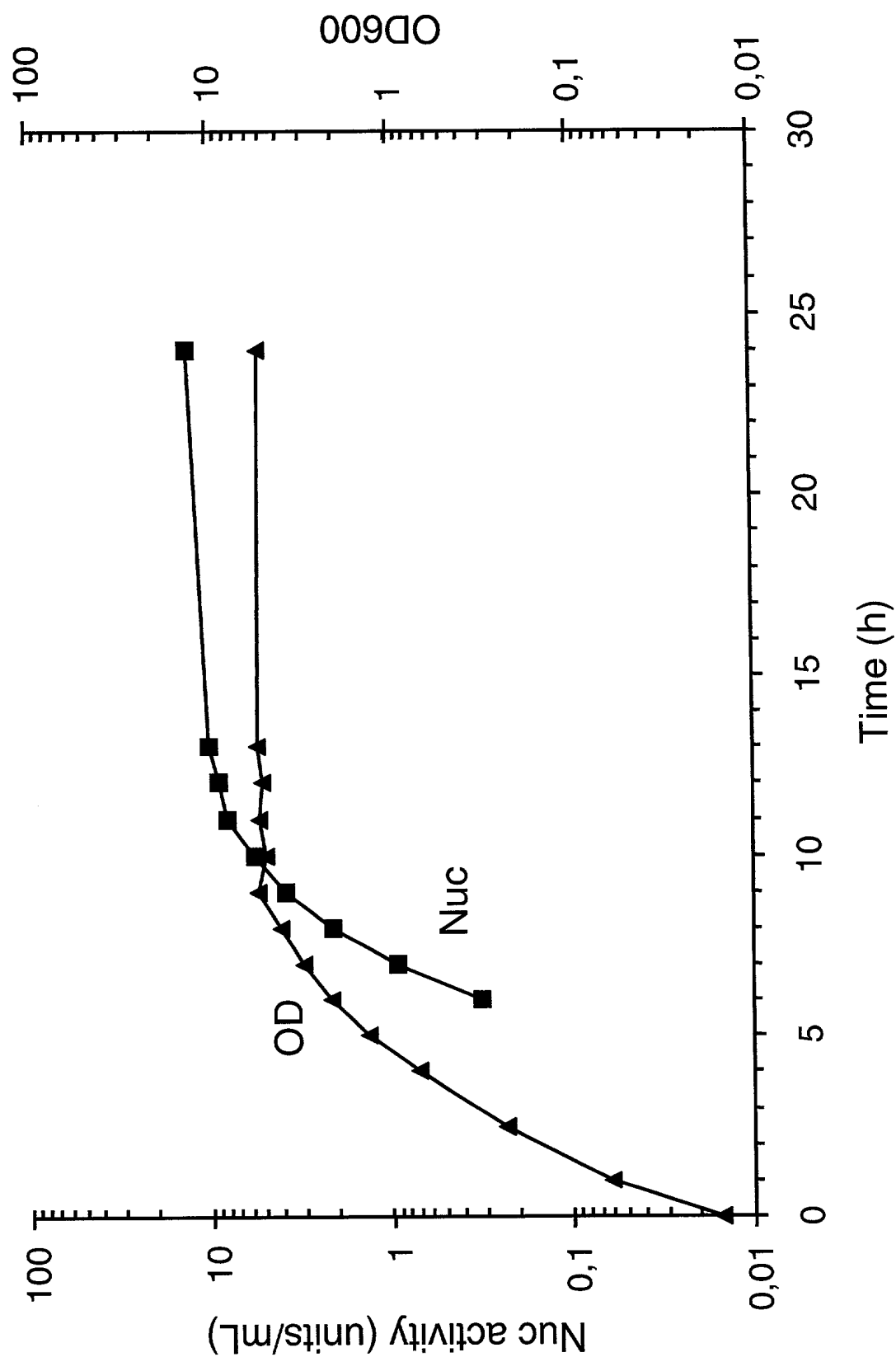


Fig. 7A

Fig. 7A

14/22

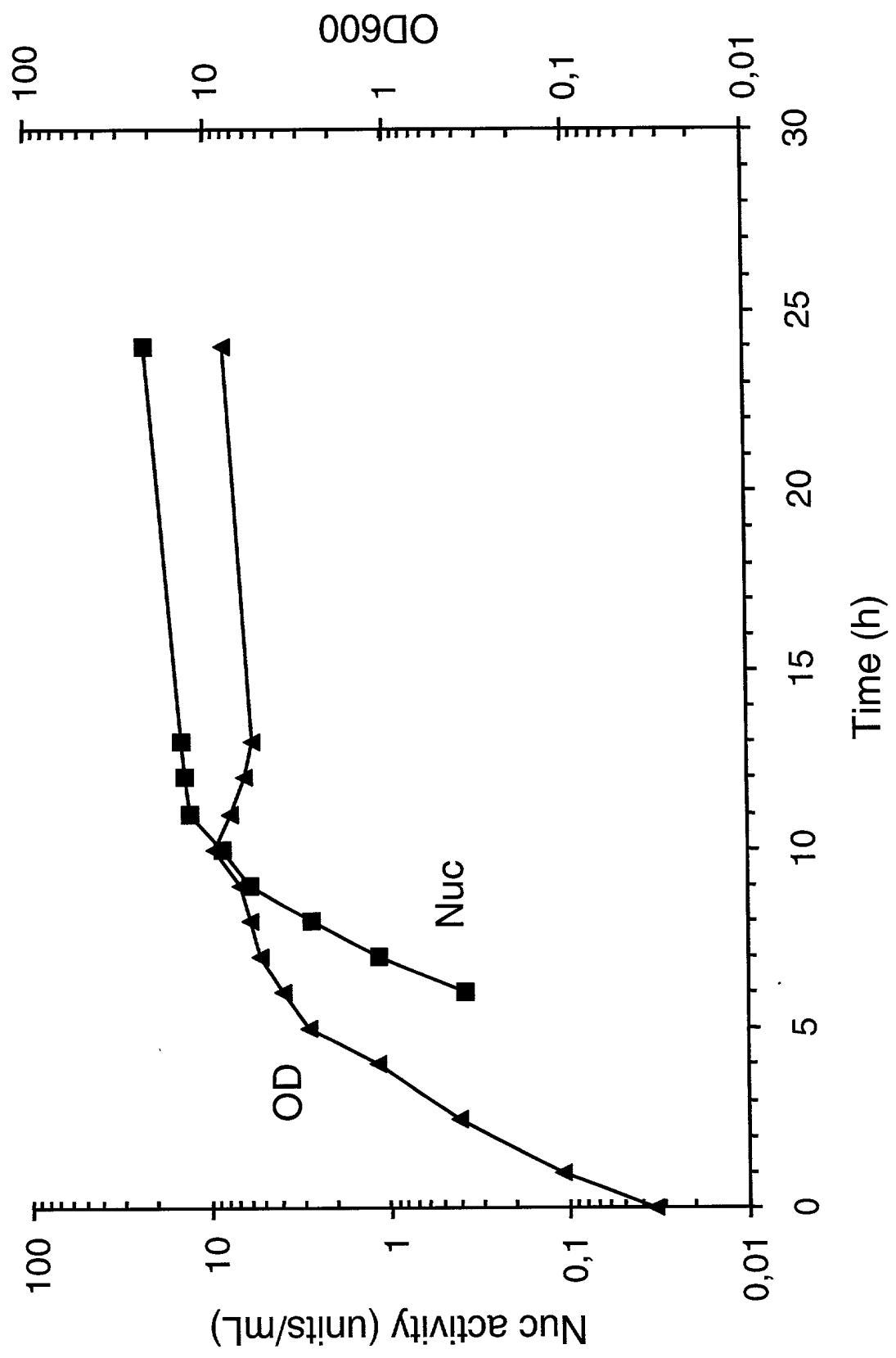


Fig. 7B

15/22

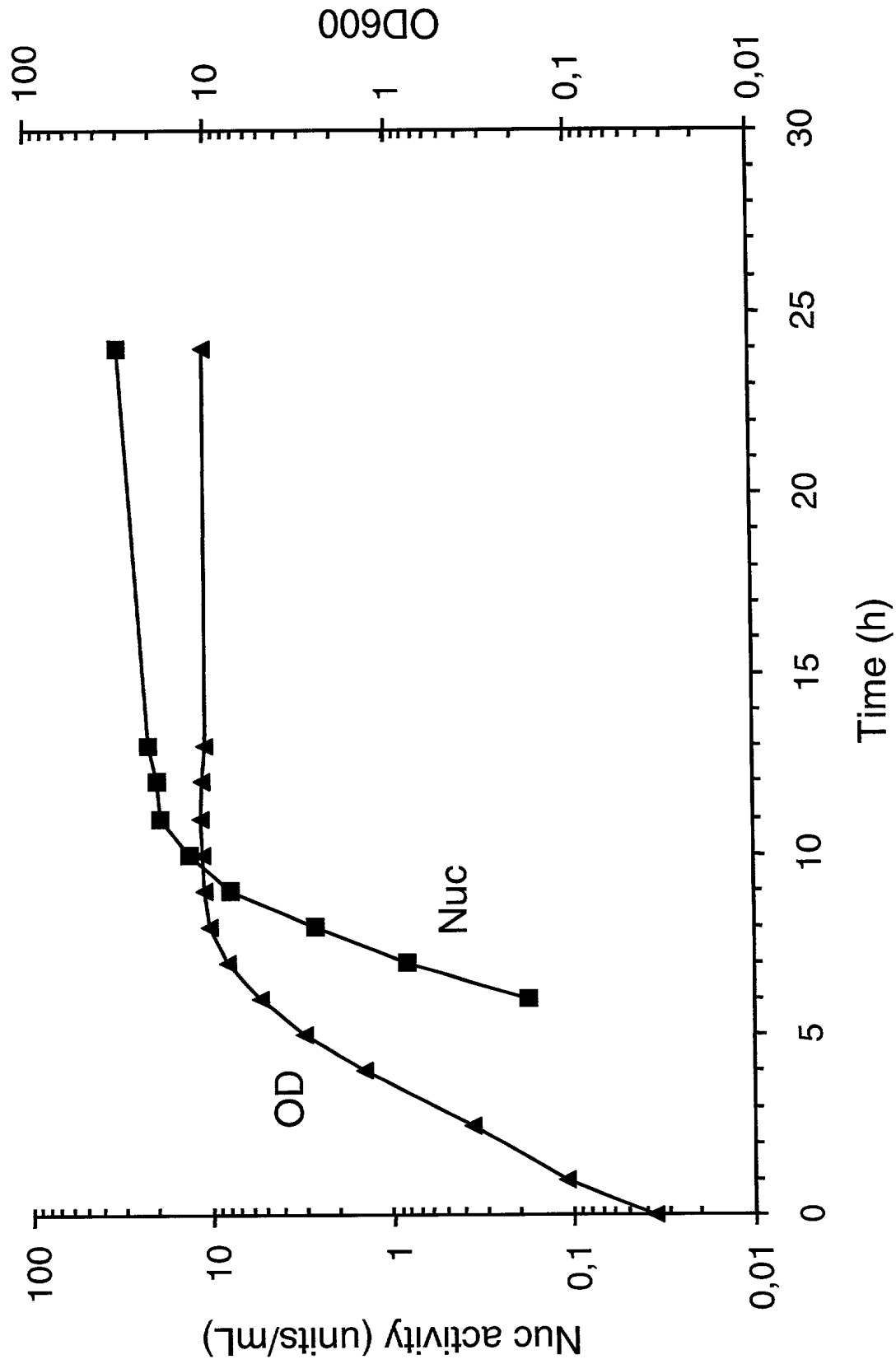


Fig. 7C

Fig. 7C

16/22

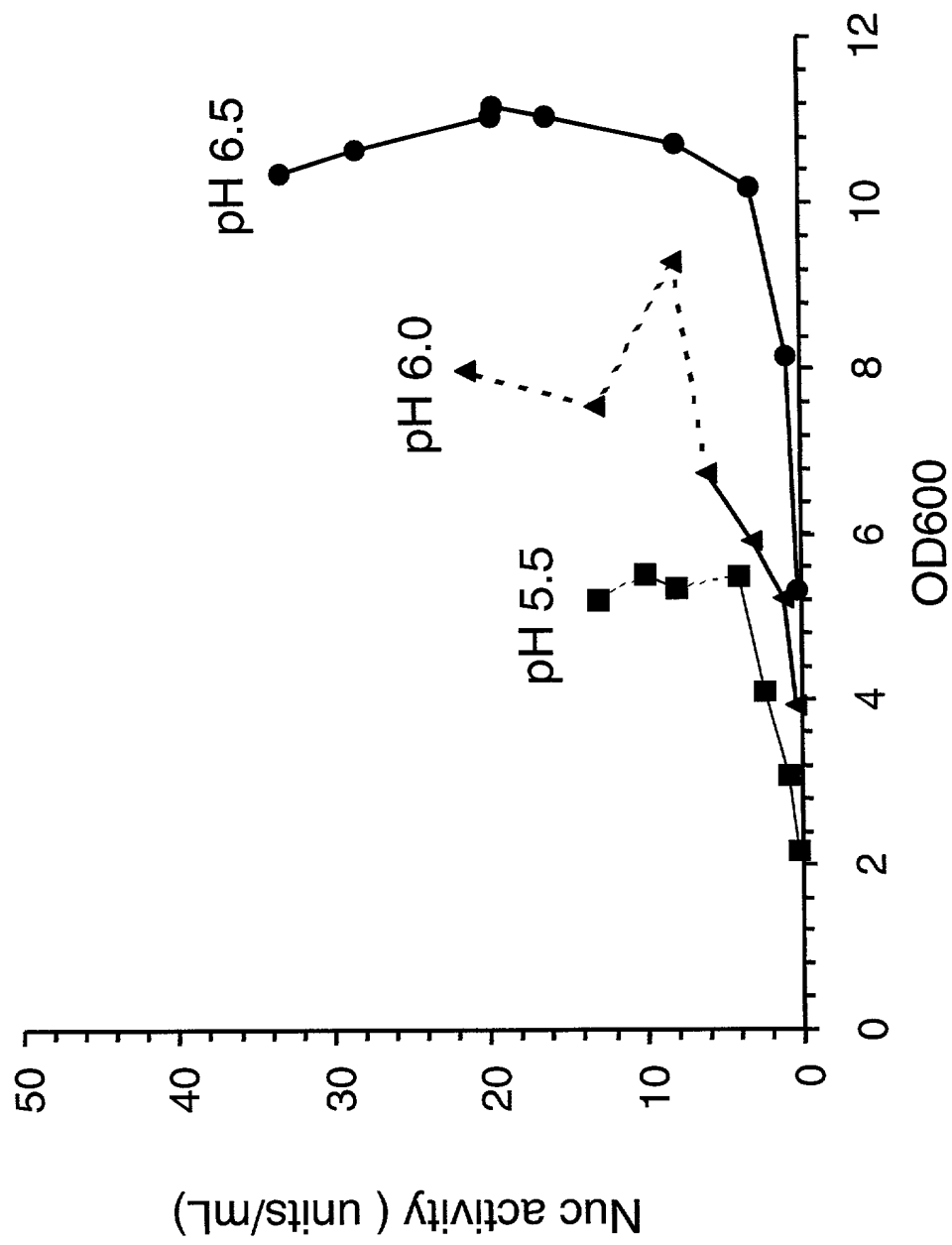


Fig. 7D

Fig. 7D



17/22

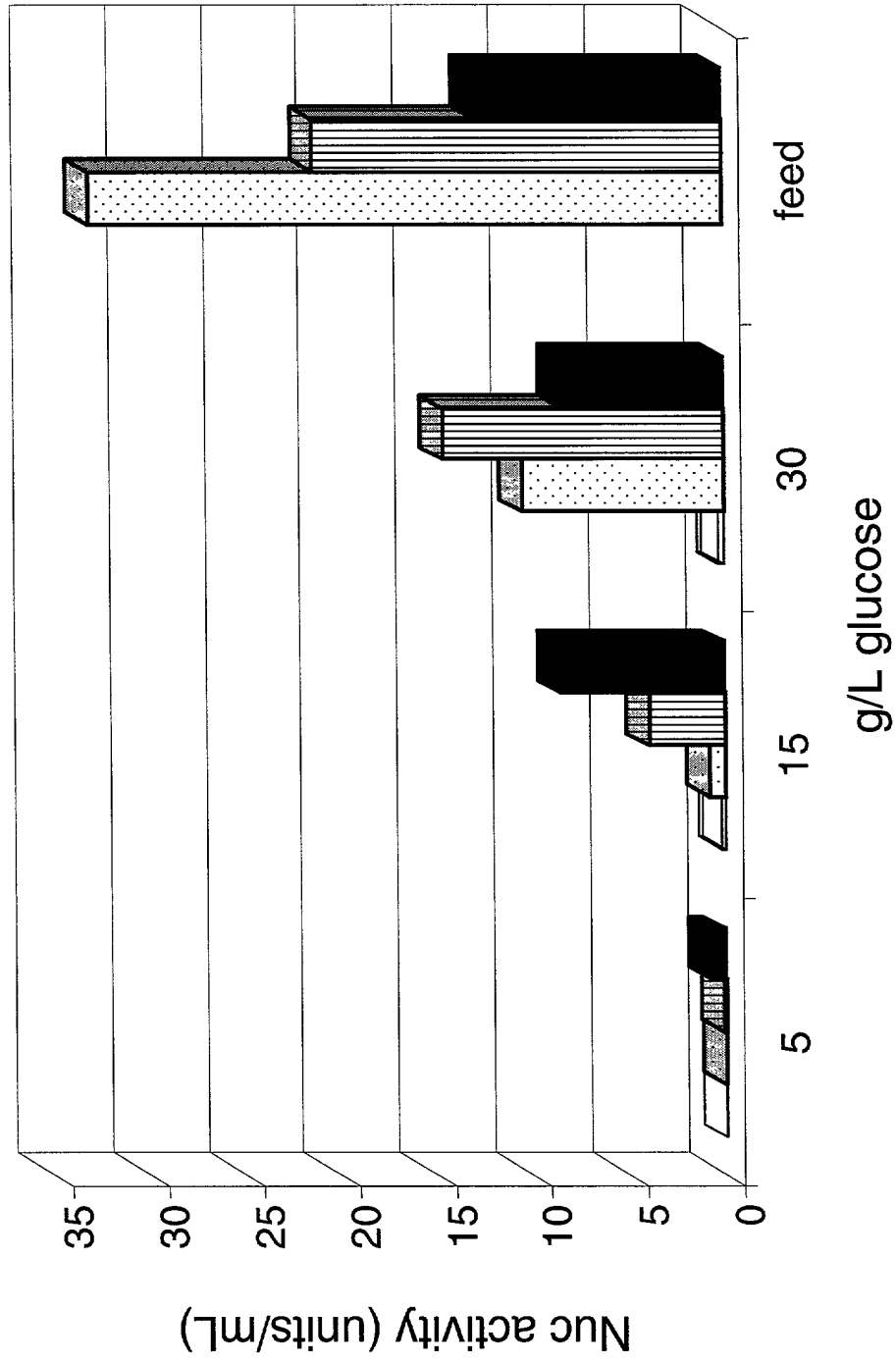


Fig. 8

Fig. 8

18/22

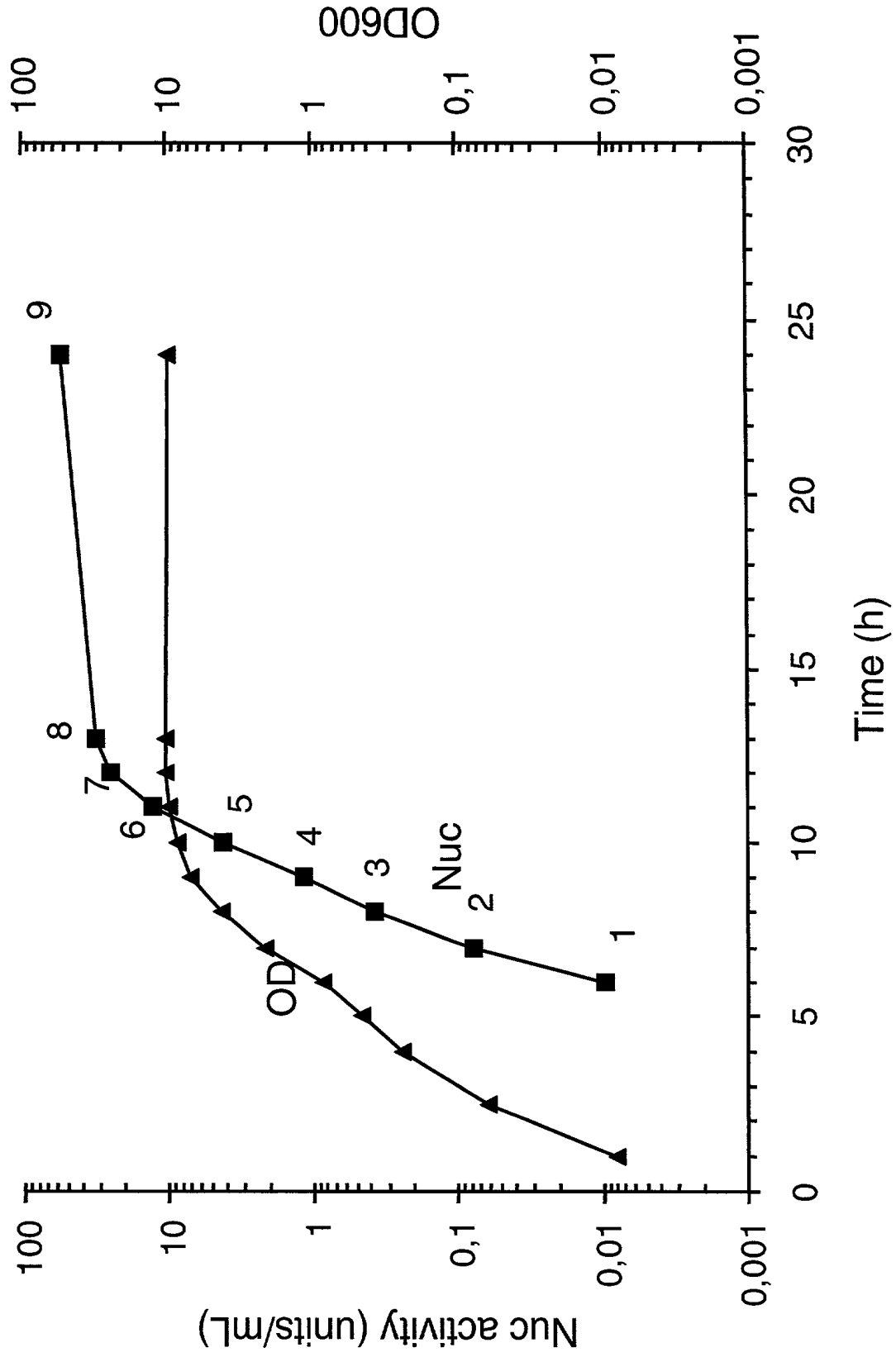


Fig. 9A

TOPOT T52860

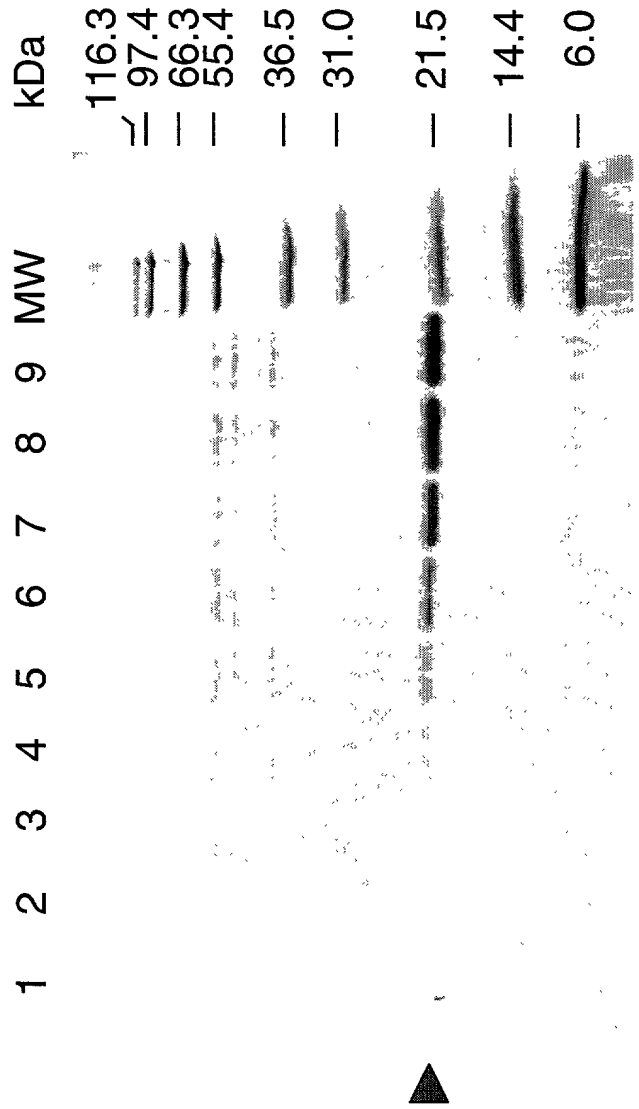
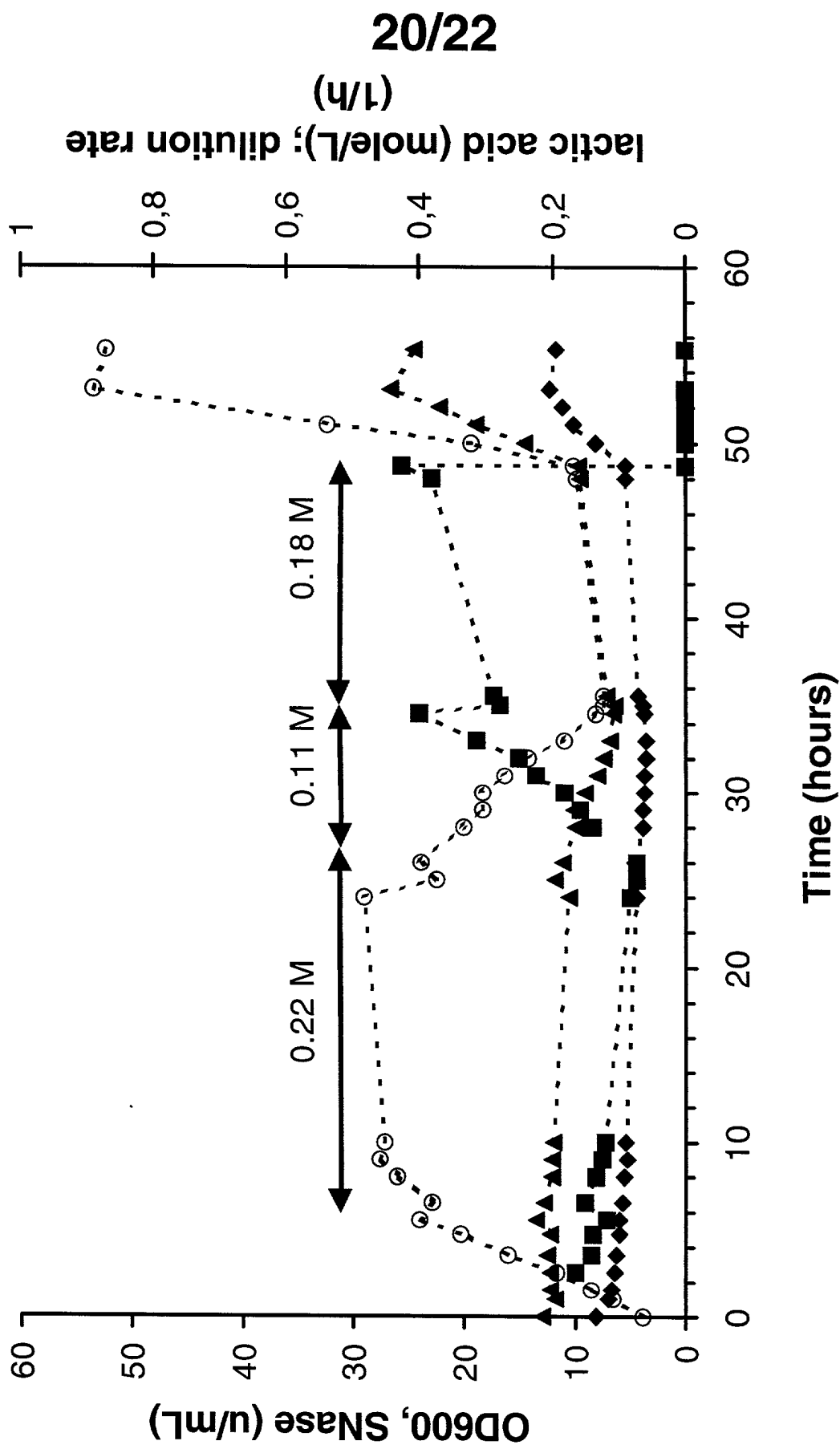


Fig. 9B

Fig. 9B



**Fig. 10**

**Fig. 10**

21/22

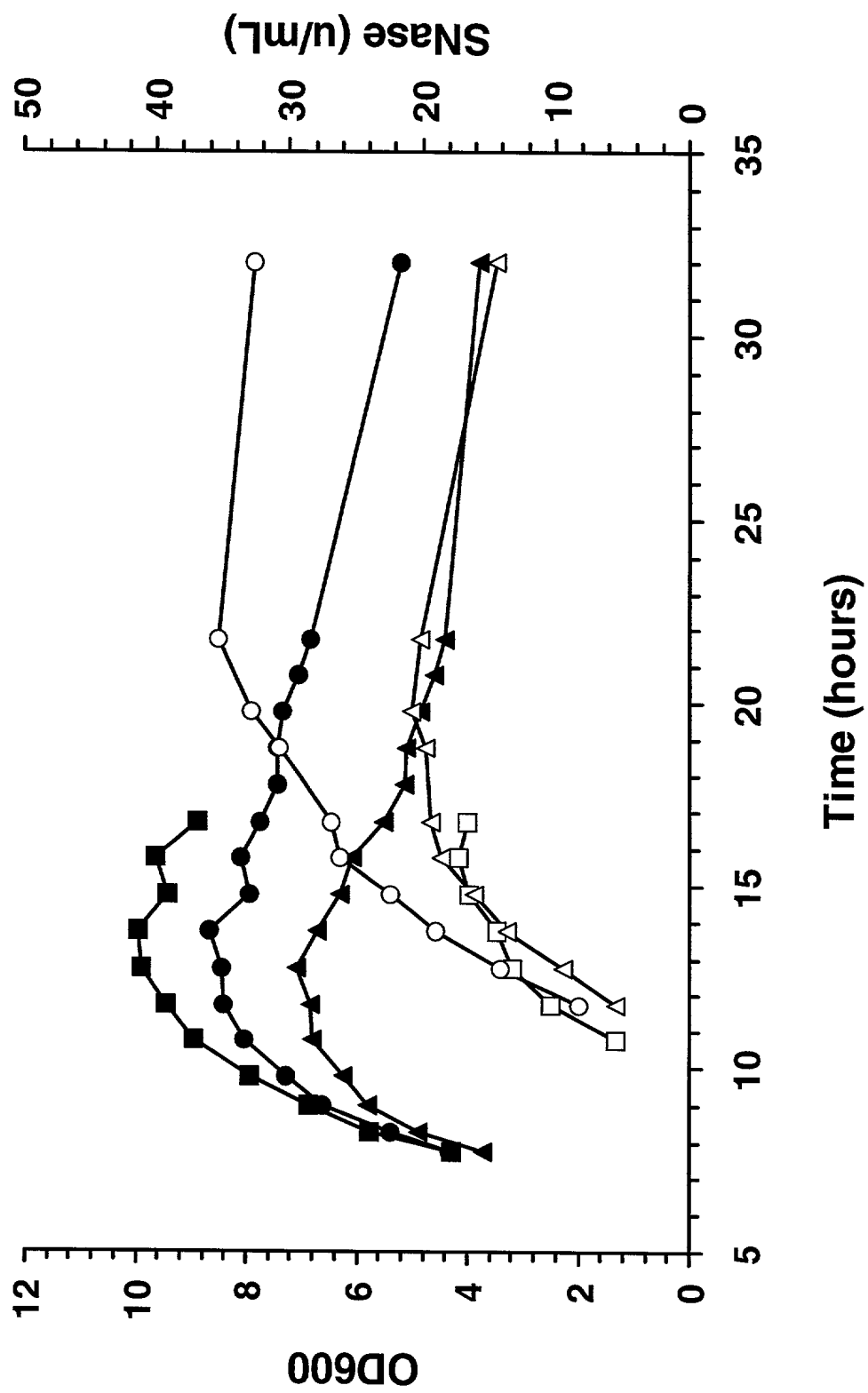


Fig. 11

22/22

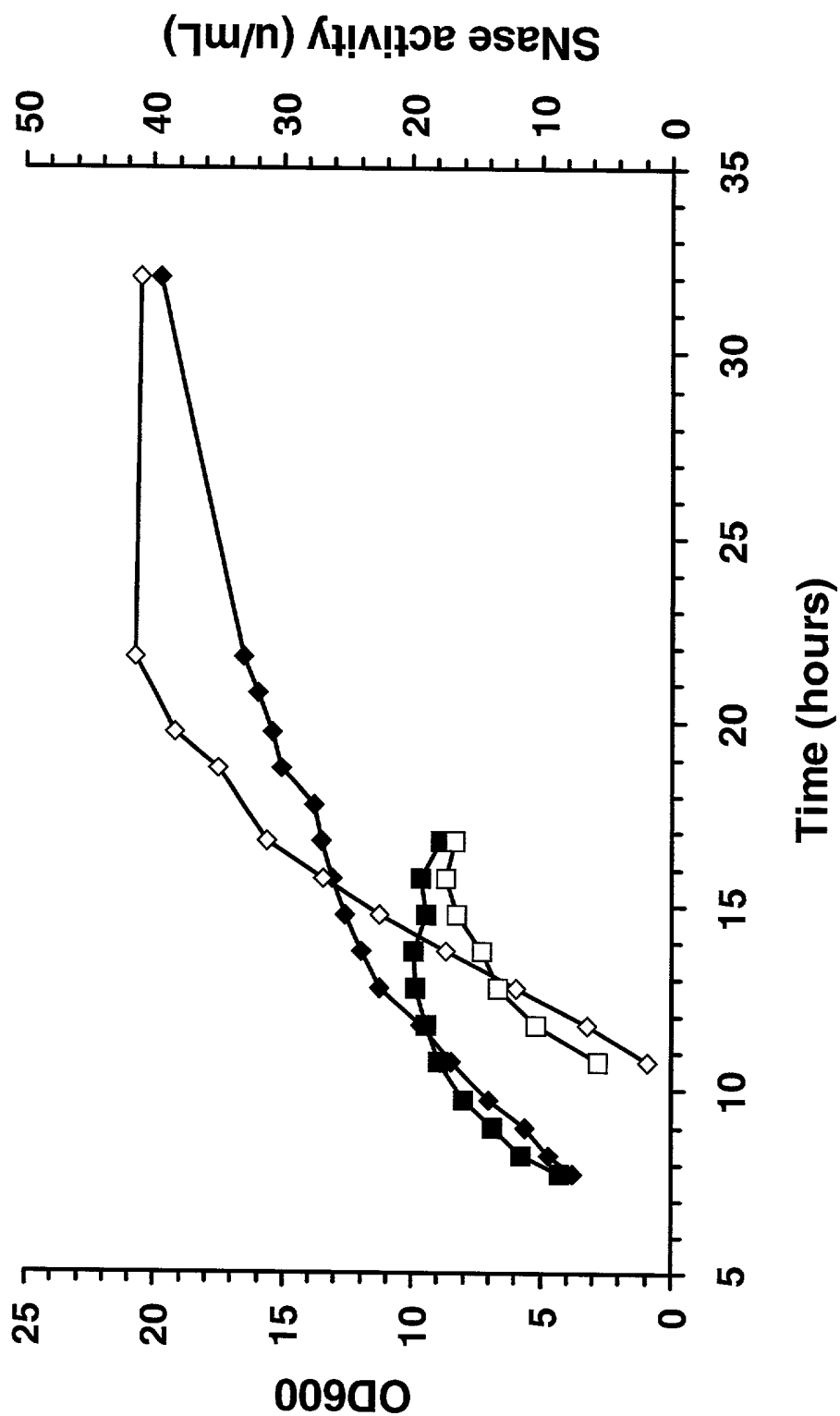


Fig. 12

Fig. 12